

УДК 539.3

МОДЕЛИРОВАНИЕ УПРУГО-НЕУПРУГИХ ПРОЦЕССОВ ПРИ КОНЕЧНЫХ ДЕФОРМАЦИЯХ В СПЛАВАХ С ПАМЯТЬЮ ФОРМЫ

А. А. Роговой, О. С. Столбова

Институт механики сплошных сред УрО РАН, 614013 Пермь

E-mail: rogovoy@icmm.ru

С использованием формализованного подхода к построению определяющих соотношений сложных сред при конечных деформациях записано уравнение состояния для сплава с памятью формы. Полученные соотношения протестированы на связанных упруго-неупругих краевых задачах о деформировании образца из материала с памятью формы при прямом и обратном мартенситных превращениях.

Ключевые слова: конечные деформации, память формы, связанная задача.

Введение. В работах [1–6] предложен подход к построению моделей, описывающих поведение сложных сред при конечных деформациях и структурных изменениях в материалах и удовлетворяющих принципам термодинамики и объективности. С использованием процедуры наложения малых деформаций на конечные деформации описана кинематика термоупруго-неупругого процесса. Термоупруго-неупругий процесс трактуется как упругий процесс с напряженной отсчетной конфигурацией, в качестве которой принимается промежуточная упругая конфигурация, близкая к текущей и получающаяся из нее при малой упругой разгрузке. Для формального описания указанной близости в вектор перемещения, определяющий положение точек в текущей конфигурации относительно промежуточной конфигурации, вводится малый положительный параметр. Это позволяет представить все кинематические величины в виде рядов по данному малому параметру, в которых удержаны только линейные слагаемые, и в результате построить для любого закона упругости определяющие уравнения с начальными напряжениями и функциями отклика материала на малые упругие деформации относительно промежуточной конфигурации. Предельным переходом при стремлении промежуточной конфигурации к текущей это определяющее уравнение сводится к точному эволюционному уравнению с объективной производной, следующей из этого предельного перехода.

В рамках указанного подхода в настоящей работе строятся корректные определяющие уравнения для конечных упруго-неупругих деформаций материалов, претерпевающих

Работа выполнена при финансовой поддержке Совета по грантам Президента РФ по государственной поддержке ведущих научных школ РФ (коды проектов НШ-8055.2006.1, НШ-3717.2008.1, НШ-7529.2010.1, НШ-5389.2012.1), в рамках программ фундаментальных исследований Отделения энергетики, машиностроения, механики и процессов управления РАН (коды проектов 09-Т-1-1006, 12-Т-1-1004), программ совместных фундаментальных исследований, выполняемых УрО РАН, СО РАН и ДВО РАН (коды проектов 09-С-1-1008, 12-С-1-1015), и при финансовой поддержке Федерального агентства по науке и инновациям (государственный контракт № 02.740.11.0442) и Российского фонда фундаментальных исследований (коды проектов 10-01-00055, 12-01-00419).

мартенситно-аустенитный переход в процессе деформирования и изменения температуры. Тестирование этих уравнений осуществляется на связанных упруго-неупругих краевых задачах о деформировании тонкостенных конструкций. Считается, что изменение однородной температуры окружающей среды происходит достаточно медленно, поэтому в любой момент времени температура материала также является однородной и равна температуре окружающей среды. Это позволяет не рассматривать процесс установления температуры (уравнение теплопроводности не приводится).

1. Основные соотношения. В данном пункте приводятся общие определяющие и кинематические соотношения, которые конкретизируются для сплавов с памятью формы.

1.1. *Определяющее соотношение.* Среди эквивалентных форм представления определяющих соотношений для простого материала [1, 2], удовлетворяющих принципу объективности [7], выберем форму

$$T = J^{-1}F \cdot \tilde{g}(C_E, \Theta, q) \cdot F^T. \quad (1.1)$$

Здесь T — тензор истинных напряжений; $\tilde{g}(C_E, \Theta, q)$ — функция отклика материала (тензор второго ранга); $C_E = F_E^T \cdot F_E$ — мера Коши — Грина упругих деформаций; F_E — упругий градиент места; F — полный градиент места; $J = I_3(F)$ — третий инвариант F (якобиан, определяющий относительное изменение объема); Θ — абсолютная температура; q — скалярный параметр процесса (в сплавах с памятью формы (СПФ) — доля мартенситной фазы в объеме материала, зависящая от температуры). В представлении (1.1) тензор \tilde{g} , известный как второй (симметричный) тензор напряжений Пиолы — Кирхгофа, зависит от физико-механических свойств материала, характеризует его отклик на чистую деформацию, описываемую мерой деформации Коши — Грина C_E , определяется на элементарной площадке недеформированной начальной конфигурации и выражается через упругий потенциал $W(C_E, \Theta, q)$ с помощью соотношения $\tilde{g} = 2(\partial W(C_E, \Theta, q)/\partial C_E)$. При этом от величин Θ и q зависят только параметры функционального соотношения $W(C_E)$. Например, выражение для упрощенного потенциала Мурнагана с параметрами a и b записывается в виде $W = a(\Theta, q)[I_1(C_E) - 3] + b(\Theta, q)[I_2(C_E) - 3]$. Преобразование правой части (1.1) позволяет определить тензор T в текущей конфигурации. Свойства среды зависят от структуры материала и могут изменяться при деформировании и действии других физических полей. Элементарная ориентированная площадка определяется только кинематикой процесса.

В работах [1, 2] вводятся начальная \varkappa_0 , промежуточная \varkappa_* и текущая (актуальная) \varkappa конфигурации, причем конфигурации \varkappa_* и \varkappa близки. Эта близость характеризуется малым параметром ε , являющимся удобным средством формализации малости не только вектора перемещений, но и других величин, определяемых через перемещения. В работе [3] показано, что относительно промежуточной конфигурации \varkappa_* соотношение (1.1) с точностью до линейных по ε слагаемых представляется в виде

$$T = T_* + \varepsilon T', \quad (1.2)$$

$$T' = -I_1(e)T_* + h \cdot T_* + T_* \cdot h^T + \theta(T, \Theta)_* + q'(T, q)_* + L_*^{IV} \cdot \cdot e_E.$$

Здесь T_* — тензор истинных напряжений в промежуточной конфигурации; $h = (\nabla^* \mathbf{u})^T$ — градиент вектора малых полных перемещений; ∇^* — оператор Гамильтона относительно промежуточной конфигурации; $e = (h + h^T)/2$, e_E — тензоры малых полных и упругих деформаций относительно промежуточной конфигурации; \mathbf{u} — вектор перемещений из промежуточной конфигурации в близкую текущую; $I_1(e)$ — первый инвариант e ; θ — приращение температуры ($\Theta = \Theta_* + \varepsilon\theta$); q' — приращение q ($q = q_* + \varepsilon q'$); $(T, \alpha)_* \equiv (\partial T/\partial \alpha)_*$; величины с индексом “*” соответствуют промежуточной конфигурации; L_*^{IV} —

тензор четвертого ранга, определяющий отклик материала на малые упругие деформации относительно промежуточной конфигурации (см. [3]):

$$L_*^{IV} = 4J_*^{-1}F_* \cdot \left(F_* \circ \frac{\partial^2 W(C_E, \Theta_*, q_*)}{\partial C_E^2} \Big|_{C_E=C_{E*}} \circ F_*^T \right) \cdot F_*^T, \quad (1.3)$$

$A \circ B^{IV}$ — операция скалярного умножения слева тензора второго ранга A на третий базисный вектор тензора четвертого ранга B^{IV} ; $B^{IV} \circ A$ — операция скалярного умножения справа тензора второго ранга A на второй базисный вектор тензора четвертого ранга B^{IV} . Тензор малых упругих деформаций представляется через тензор малых температурных деформаций e_Θ и тензор малых фазовых деформаций e_{Ph} :

$$e_E = e - e_\Theta - e_{Ph}. \quad (1.4)$$

1.2. *Кинематические соотношения.* Согласно [3, 5] кинематические тензоры определяются выражениями

$$F = F_E \cdot F_{Ph} \cdot F_\Theta; \quad (1.5)$$

$$F_E = [g + \varepsilon(e_E + d_E)] \cdot F_{E*} = (g + \varepsilon h_E) \cdot F_{E*}; \quad (1.6)$$

$$F_{Ph} = [g + \varepsilon F_{E*}^{-1} \cdot (e_{Ph} + d_{Ph}) \cdot F_{E*}] \cdot F_{Ph*} = (g + \varepsilon F_{E*}^{-1} \cdot h_{Ph} \cdot F_{E*}) \cdot F_{Ph*}; \quad (1.7)$$

$$\begin{aligned} F_\Theta &= [g + \varepsilon F_{Ph*}^{-1} \cdot F_{E*}^{-1} \cdot (e_\Theta + d_\Theta) \cdot F_{E*} \cdot F_{Ph*}] \cdot F_{\Theta*} = \\ &= (g + \varepsilon F_{Ph*}^{-1} \cdot F_{E*}^{-1} \cdot h_\Theta \cdot F_{E*} \cdot F_{Ph*}) \cdot F_{\Theta*}. \end{aligned} \quad (1.8)$$

Здесь F — полный градиент места; F_{Ph} — неупругий градиент места, зависящий от фазовых деформаций; F_Θ — градиент места, зависящий от температурных деформаций; g — единичный тензор; h_E , h_{Ph} , h_Θ — градиенты вектора малых упругих, фазовых и температурных перемещений; d_E , d_{Ph} , d_Θ — тензоры малых упругих, фазовых и температурных поворотов относительно промежуточной конфигурации. В работе [4] показано, что градиенты места F_{Ph} и F_Θ должны соответствовать чистым деформациям без вращений: $F_{Ph} = U_{Ph}$, $F_\Theta = U_\Theta$, т. е. в полярных разложениях $F_{Ph} = R_{Ph} \cdot U_{Ph}$, $F_\Theta = R_\Theta \cdot U_\Theta$ ортогональные тензоры R_{Ph} и R_Θ должны быть единичными: $R_{Ph} = R_\Theta = g$.

Как известно, тензор деформации скорости $D = (l + l^T)/2$ ($l = \dot{F} \cdot F^{-1} = (\tilde{\nabla} \mathbf{v})^T$; \mathbf{v} — скорость перемещения; $\tilde{\nabla}$ — оператор Гамильтона относительно текущей конфигурации) связан с тензором деформаций Альманси $\tilde{E} = (g - A)/2$ ($A = F^{-T} \cdot F^{-1}$ — мера деформаций Альманси) соотношением $D = \tilde{E}^{CR}$, где $\tilde{E}^{CR} = \tilde{E} + l^T \cdot \tilde{E} + \tilde{E} \cdot l$ — объективная производная Коттера — Ривлина. Используя эти соотношения, можно показать, что тензору деформации скорости D_E соответствует тензор деформации Альманси $\tilde{E}_E = (g - \tilde{A}_E)/2$, где $\tilde{A}_E = A_E = F_E^{-T} \cdot F_E^{-1}$. Тензор D_{Ph} соответствует тензору \tilde{E}_{Ph} , который определяется следующим образом:

$$\begin{aligned} \tilde{E}_{Ph} &= (g - \tilde{A}_{Ph})/2, \\ \tilde{A}_{Ph} &= F_{E*}^{-T} \cdot A_{Ph} \cdot F_{E*}^{-1}, \quad A_{Ph} = F_{Ph}^{-T} \cdot F_{Ph}^{-1}. \end{aligned} \quad (1.9)$$

Аналогично тензор D_Θ соответствует тензору \tilde{E}_Θ :

$$\begin{aligned} \tilde{E}_\Theta &= (g - \tilde{A}_\Theta)/2, \\ \tilde{A}_\Theta &= F_{E*}^{-T} \cdot F_{Ph*}^{-T} \cdot A_\Theta \cdot F_{Ph*}^{-1} \cdot F_{E*}^{-1}, \quad A_\Theta = F_\Theta^{-T} \cdot F_\Theta^{-1}. \end{aligned}$$

В качестве примера рассмотрим соотношения (1.9). Выражение для тензора, обратного F_{Ph} , следует из (1.7) и имеет вид $F_{Ph}^{-1} = F_{Ph*}^{-1} \cdot (g - \varepsilon F_{E*}^{-1} \cdot h_{Ph} \cdot F_{E*})$, что нетрудно проверить ($F_{Ph} \cdot F_{Ph}^{-1} = F_{Ph}^{-1} \cdot F_{Ph} = g$ с точностью до линейных слагаемых относительно ε). С учетом этого выражения, сохраняя в (1.9) только линейные члены по ε , получаем

$$\tilde{A}_{Ph} = \tilde{A}_{Ph*} - \varepsilon h_{Ph}^T \cdot \tilde{A}_{Ph*} - \varepsilon \tilde{A}_{Ph*} \cdot h_{Ph}. \quad (1.10)$$

Представляя это соотношение в виде $\tilde{A}_{Ph} - \tilde{A}_{Ph*} \equiv \Delta \tilde{A}_{Ph} = -\Delta h_{Ph}^T \cdot \tilde{A}_{Ph*} - \tilde{A}_{Ph*} \cdot \Delta h_{Ph}$ (вместо ε использовано обозначение Δ — приращение соответствующей величины), деля его на время перехода из промежуточной конфигурации в текущую Δt и устремляя промежуточную конфигурацию к текущей, имеем

$$\dot{\tilde{A}}_{Ph} = -l_{Ph}^T \cdot \tilde{A}_{Ph} - \tilde{A}_{Ph} \cdot l_{Ph}. \quad (1.11)$$

При этом учтено, что $\tilde{A}_{Ph*} \rightarrow \tilde{A}_{Ph}$, $\Delta \tilde{A}_{Ph} / \Delta t \rightarrow \dot{\tilde{A}}_{Ph}$ и $\Delta h_{Ph} / \Delta t \rightarrow l_{Ph}$. Так как

$$\tilde{E}_{Ph}^{CR} = \dot{\tilde{E}}_{Ph} + l_{Ph}^T \cdot \tilde{E}_{Ph} + \tilde{E}_{Ph} \cdot l_{Ph},$$

то, подставляя в это равенство выражения для \tilde{E}_{Ph} из (1.9) и $\dot{\tilde{E}}_{Ph} = -\dot{\tilde{A}}_{Ph} / 2$ из (1.11), получаем

$$D_{Ph} = \tilde{E}_{Ph}^{CR} = (l_{Ph} + l_{Ph}^T) / 2.$$

Таким образом, сформулированное выше соответствие доказано. Заметим, что согласно [3, 4] $l_{Ph} = F_E \cdot \dot{F}_{Ph} \cdot F_{Ph}^{-1} \cdot F_E^{-1} = (\tilde{\nabla} \mathbf{v}_{Ph})^T$.

Используя соотношение (1.10), тензор фазовых деформаций Альманси \tilde{E}_{Ph} в (1.9), согласованный с тензором деформаций скорости D_{Ph} , целесообразно представить в виде

$$\tilde{E}_{Ph} = \tilde{E}_{Ph*} + \varepsilon (h_{Ph}^T \cdot \tilde{A}_{Ph*} + \tilde{A}_{Ph*} \cdot h_{Ph}) / 2, \quad (1.12)$$

где $\tilde{A}_{Ph*} = F_{E*}^{-T} \cdot A_{Ph*} \cdot F_{E*}^{-1}$; $A_{Ph*} = F_{Ph*}^{-T} \cdot F_{Ph*}^{-1}$. В случае малых деформаций промежуточная конфигурация совпадает с начальной. В результате $\tilde{A}_{Ph*} = g$, тензор \tilde{E}_{Ph*} становится нулевым и соотношение (1.12) принимает известный вид $\tilde{E}_{Ph} = \varepsilon e_{Ph} = \varepsilon (h_{Ph}^T + h_{Ph}) / 2$.

1.3. *Сплавы с памятью формы.* Как отмечено в работе [8], термомеханическое поведение СПФ характеризуется рядом эффектов и явлений, связанных с происходящими в этих материалах фазовыми и структурными превращениями: эффект накопления деформаций при прямом (мартенситном) превращении, явление ориентированного превращения, монотонная, реверсивная и обратимая память формы, резкое изменение при фазовых переходах упругих модулей и внутреннего трения, выделение или поглощение достаточно больших количеств латентного тепла фазовых превращений. Различные варианты моделей СПФ предложены в работах [9–18] (см. также библиографию к ним). Эти модели позволяют с различной степенью полноты описать указанные выше эффекты и явления. В данной работе используется наиболее полная модель, предложенная в работах [14–18].

Вводится скалярная внутренняя переменная q , трактуемая как доля низкотемпературной (мартенситной) фазы в объеме материала (при $q = 0$ материал находится полностью в аустенитном состоянии (высокотемпературная фаза), при $q = 1$ — полностью в мартенситном). Для того чтобы аппроксимировать диаграмму фазового перехода (зависимости объемной доли мартенситной фазы от температуры и напряжений при прямом $A \rightarrow M$ (аустенит — мартенсит) и обратном $M \rightarrow A$ (мартенсит — аустенит) превращениях (рис. 1)), используем следующие соотношения [17]:

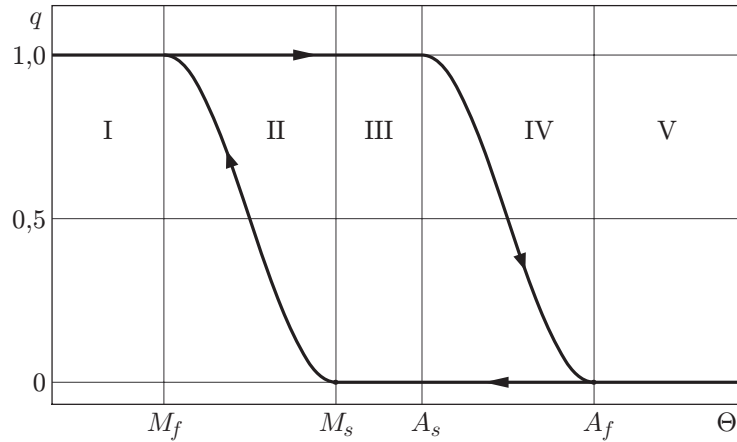


Рис. 1. Зависимость объемной доли мартенситной фазы от температуры при прямом и обратном превращениях:

I–V — области мартенситного и аустенитного состояний при прямом и обратном превращениях

$$q = \psi(\xi), \quad \psi(\xi) = \begin{cases} 0, & \xi \leq 0, \\ \psi(\xi), & 0 < \xi < 1, \\ 1, & \xi \geq 1; \end{cases} \quad \psi(\xi) = (1 - \cos(\pi\xi))/2, \quad (1.13)$$

$$\xi = \frac{M_s^\sigma - \Theta}{M_s^\sigma - M_f^\sigma}, \quad M_f^\sigma \leq \Theta \leq M_s^\sigma \quad (A \rightarrow M, dq > 0), \quad (1.14)$$

$$\xi = 1 + \frac{A_s^\sigma - \Theta}{A_f^\sigma - A_s^\sigma}, \quad A_s^\sigma \leq \Theta \leq A_f^\sigma \quad (M \rightarrow A, dq < 0).$$

Здесь M_s, M_f, A_s, A_f — температуры начала и завершения прямого и обратного мартенситных превращений в свободном от напряжений материале; $M_s^\sigma, M_f^\sigma, A_s^\sigma, A_f^\sigma$ — температуры начала и завершения прямого и обратного мартенситных превращений в нагруженном материале. При прямом переходе $A \rightarrow M$ (см. рис. 1) материал находится полностью в аустенитном состоянии в области $\text{III} \cup \text{IV} \cup \text{V}$; область II переходная: в ней существуют и мартенситная, и аустенитная фазы с различными объемными долями; в области I материал находится полностью в мартенситном состоянии. При обратном переходе ($M \rightarrow A$) материал находится полностью в мартенситном состоянии в области $\text{I} \cup \text{II} \cup \text{III}$; область IV переходная; в области V материал находится полностью в аустенитном состоянии.

Будем использовать линейные зависимости характерных температур от интенсивности напряжений

$$\begin{aligned} M_s^\sigma &= M_s + k \sigma_i, & M_f^\sigma &= M_f + k \sigma_i, \\ A_s^\sigma &= A_s + k \sigma_i, & A_f^\sigma &= A_f + k \sigma_i, \end{aligned} \quad (1.15)$$

где k — материальная константа (для СПФ в задачах, рассматриваемых в п. 2, $k = 0,1$ К/МПа); $\sigma_i = \sqrt{(3/2) S \cdot S}$ — интенсивность напряжений; $S = T - I_1(T)g/3$ — девiator тензора истинных напряжений. Тогда, представляя выражения для q, ξ, Θ, σ_i в виде

$$q = q_* + \varepsilon q', \quad \xi = \xi_* + \varepsilon \xi', \quad \Theta = \Theta_* + \varepsilon \theta, \quad \sigma_i = (\sigma_i)_* + \varepsilon \sigma_i', \quad (1.16)$$

где штрихом отмечены приращения соответствующих величин при переходе из промежуточной конфигурации в близкую к ней текущую (для приращения температуры использовано обозначение θ), при $0 < \xi < 1$ из (1.13)–(1.15) получаем

$$q_* = 0,5(1 - \cos(\pi\xi_*)), \quad q' = 0,5\pi\xi' \sin(\pi\xi_*),$$

$$\xi_* = \begin{cases} \frac{M_s + k(\sigma_i)_* - \Theta_*}{M_s - M_f}, & A \rightarrow M, q' > 0, \\ 1 + \frac{A_s + k(\sigma_i)_* - \Theta_*}{A_f - A_s}, & M \rightarrow A, q' < 0, \end{cases} \quad (1.17)$$

$$\xi' = \xi_{,\Theta}\theta + \xi_{,\sigma_i}\sigma'_i,$$

$$\xi_{,\Theta} = -\frac{1}{M_s - M_f}, \quad \xi_{,\sigma_i} = \frac{k}{M_s - M_f}, \quad A \rightarrow M, q' > 0,$$

$$\xi_{,\Theta} = -\frac{1}{A_f - A_s}, \quad \xi_{,\sigma_i} = \frac{k}{A_f - A_s}, \quad M \rightarrow A, q' < 0.$$

Представляя девиатор тензора напряжений в виде $S = S_* + \varepsilon S'$, подставляя это выражение в соотношение для интенсивности напряжений, разлагая полученное соотношение в ряд по ε и сохраняя только линейные относительно этого параметра слагаемые, имеем

$$(\sigma_i)_* = \sqrt{(3/2) S_* \cdot S_*}, \quad \sigma'_i = \frac{3 S_* \cdot S'}{2(\sigma_i)_*} = \frac{3 S_* \cdot T'}{2(\sigma_i)_*}, \quad (1.18)$$

где $S_* = T_* - I_1(T_*)g/3$ и учтено, что $S_* \cdot S' = S_* \cdot [T' - I_1(T')g/3] = S_* \cdot T'$ (определение T_* и T' см. в (1.2)).

Уравнения, описывающие развитие фазовых деформаций (без учета реверсивного эффекта памяти формы при обратных превращениях), приведены в [15] для малых деформаций. Обобщая эти соотношения на конечные деформации с учетом выражений, приведенных в конце подп. 1.2, имеем

$$D_{Ph} = \dot{e}_{Ph} = (\beta g + c_0 S + a_0 \tilde{E}_{Ph}) \dot{q}, \quad \dot{q} > 0; \quad (1.19)$$

$$D_{Ph} = \dot{e}_{Ph} = \left(\frac{a_0 \tilde{E}_{Ph}^{(0)}}{\exp(a_0 q_0) - 1} + a_0 \tilde{E}_{Ph} \right) \dot{q}, \quad \dot{q} < 0. \quad (1.20)$$

Здесь β , c_0 , a_0 — параметры материала (для СПФ в задачах, рассматриваемых в п. 2, $\beta = 1,17 \cdot 10^{-3}$, $c_0 = 0,283 \cdot 10^{-3}$ МПа $^{-1}$, $a_0 = 0,718$); \tilde{E}_{Ph} — текущая фазовая деформация, определяемая соотношением (1.12); q_0 , $\tilde{E}_{Ph}^{(0)}$ — значения параметра мартенситной фазы и фазовой деформации в начальной точке процесса обратного превращения. Соотношения (1.19), (1.20) являются корректными: во-первых, они удовлетворяют принципу объективности, во-вторых, кинематические тензоры D_{Ph} и \tilde{E}_{Ph} , содержащиеся в этих соотношениях, согласованы. В терминах малых, но конечных величин соотношения (1.19), (1.20) представляются в виде

$$\varepsilon e_{Ph} = (\beta g + c_0 S_* + a_0 \tilde{E}_{Ph*}) \varepsilon q', \quad q' > 0; \quad (1.21)$$

$$\varepsilon e_{Ph} = \left(\frac{a_0 \tilde{E}_{Ph}^{(0)}}{\exp(a_0 q_0) - 1} + a_0 \tilde{E}_{Ph*} \right) \varepsilon q', \quad q' < 0 \quad (1.22)$$

и определяют одну из составляющих в выражении (1.4). Для еще одной составляющей в выражении (1.4) — тензора малых температурных деформаций — примем закон линейного температурного расширения $e_{\Theta} = \beta_{\Theta} \theta g$, где β_{Θ} — коэффициент линейного температурного расширения.

В соотношения (1.6)–(1.8) входят не только тензоры малых упругих e_E , фазовых e_{Ph} и температурных e_Θ деформаций, но и тензоры малых упругих d_E , фазовых d_{Ph} и температурных d_Θ поворотов относительно промежуточной конфигурации. Согласно [5] для определения d_{Ph} используем соотношение

$$K_* \cdot d_{Ph} + d_{Ph} \cdot K_* = K_* \cdot e_{Ph} - e_{Ph} \cdot K_*, \quad K_* = F_* \cdot F_{E*}^T, \quad (1.23)$$

которое позволяет выразить d_{Ph} через e_{Ph} . В результате получаем $d_E = d - d_{Ph}$, так как в соответствии с работой [5] $d_\Theta = 0$, если e_Θ определяется законом линейного температурного расширения.

Упругое поведение материала будем описывать упрощенным законом Синьори-ни [19, 20], используемым при умеренных упругих деформациях, которые могут иметь место, в частности, в металлах. В этом законе второй (симметричный) тензор напряжений Пиолы — Кирхгофа P_{II} , имеющий смысл функции упругого отклика материала \tilde{g} в (1.1), принимает вид

$$P_{II} \equiv \tilde{g} = \sqrt{I_3(C_E)} [(k_1 + k_2)C_E^{-1} - k_2C_E^{-2}], \quad (1.24)$$

где

$$\begin{aligned} k_1 &= \Lambda(3 - I_1(C_E^{-1}))/2 + (\Lambda + G)(3 - I_1(C_E^{-1}))^2/8, \\ k_2 &= G - (\Lambda + G)(3 - I_1(C_E^{-1}))/2, \end{aligned} \quad (1.25)$$

I_3 — третий главный инвариант соответствующего тензора; Λ, G — параметры материала, имеющие смысл параметра Ламе и модуля сдвига линейной упругости.

В работах [11, 21] на основе гипотезы об аддитивном представлении потенциала Гиббса, слагаемые которого пропорциональны объемным долям мартенситной и аустенитной фаз, зависимости упругих модулей от q ($0 \leq q \leq 1$) определяются соотношениями

$$\frac{1}{E(q)} = \frac{q}{E_M} + \frac{1-q}{E_A}, \quad \frac{1}{G(q)} = \frac{q}{G_M} + \frac{1-q}{G_A},$$

из которых следует

$$\begin{aligned} E(q) &= \frac{E_A}{1 + (\gamma_E - 1)q}, & \gamma_E &= \frac{E_A}{E_M}, \\ G(q) &= \frac{G_A}{1 + (\gamma_G - 1)q}, & \gamma_G &= \frac{G_A}{G_M}. \end{aligned}$$

Здесь E_M, G_M, E_A, G_A — значения модуля Юнга и модуля сдвига для материала в мартенситном и аустенитном состояниях соответственно.

В настоящей работе используется зависимость упругих модулей от q

$$Z(q) = \begin{cases} Z_A, & q = 0, \\ Z_A - (Z_A - Z_M)(1 - \cos(\pi q))/2, & 0 < q < 1, \\ Z_M, & q = 1 \end{cases} \quad (1.26)$$

($Z = E$ или $Z = G$), которая имеет непрерывную производную по q . При этом не используется гипотеза аддитивности потенциала. В общем случае Z_A при $q = 0$ и Z_M при $q = 1$ являются функциями температуры. Представляя выражение для Z в виде

$$Z = Z_* + \varepsilon Z', \quad (1.27)$$

где штрихом отмечено приращение Z при переходе из промежуточной конфигурации в близкую текущую, при $0 < q < 1$ из (1.26) получаем

$$\begin{aligned} Z_* &= Z_A - (Z_A - Z_M)(1 - \cos(\pi q_*))/2, & Z' &= (Z, q)_* q', \\ (Z, q)_* &= \pi(Z_A - Z_M) \sin(\pi q_*)/2. \end{aligned} \quad (1.28)$$

Используя известное представление параметра Ламе Λ через E и G , с учетом (1.27), (1.28) имеем

$$\begin{aligned} \Lambda &= \Lambda_* + \varepsilon \Lambda', & \Lambda_* &= \Lambda(q_*) = \frac{[E(q_*) - 2G(q_*)]G(q_*)}{3G(q_*) - E(q_*)}, & \Lambda' &= (\Lambda, q)_* q', \\ (\Lambda, q)_* &= \frac{[(E, q)_* - 2(G, q)_*]G_*}{3G_* - E_*} + \Lambda_* \frac{(G, q)_*}{G_*} + \Lambda_* \frac{[(E, q)_* - 3(G, q)_*]G_*}{3G_* - E_*}. \end{aligned} \quad (1.29)$$

Поскольку в выражении для тензора напряжений, определенного в (1.24), параметры материала Λ и G зависят от температуры и объемной доли мартенситной фазы q (см. (1.26), (1.29)), а q в свою очередь зависит от температуры и интенсивности напряжений (см. (1.13)–(1.15)), учитывая зависимость (1.4), определяющее соотношение (1.2) для СПФ запишем в виде

$$\begin{aligned} T &= T_* + \varepsilon T', \\ T' &= -I_1(e)T_* + h \cdot T_* + T_* \cdot h^T + \theta[Y_*(T, a(q), \Lambda, \Theta) + Y_*(T, a(q), G, \Theta)] + \\ &+ \sigma'_i[Y_*(T, 0, \Lambda, \sigma_i) + Y_*(T, 0, G, \sigma_i)] + L_*^{\text{IV}} \cdot \cdot (e - e_{Ph} - e_\Theta). \end{aligned} \quad (1.30)$$

Здесь $Y_*(\Phi, a, x, y) = (\Phi, x)_*[a(q_*)(x, \Theta)_* + (x, q)_*(q, y)_*]$ — тензорная функция тензорного аргумента Φ (тензор второго ранга) и скалярных аргументов $a(q_*)$, x , y , причем первое слагаемое в квадратных скобках учитывает зависимость от температуры величины x при неизменном параметре q_* ($q_* = 0$ или $q_* = 1$ в (1.26)): $a(q_*) = 1$ при $q_* = 0$ или $q_* = 1$ и $a(q_*) = 0$ при $0 < q_* < 1$, а второе слагаемое учитывает зависимость величины x от q_* при $0 < q_* < 1$. Принимая во внимание выражения (1.3), (1.24), (1.25), свертку $L_*^{\text{IV}} \cdot \cdot e_E$ можно представить в виде

$$\begin{aligned} L_*^{\text{IV}} \cdot \cdot e_E &= [(k_1)_* + (k_2)_*][(C_1 \cdot \cdot e_E)C_1 - 2C_1 \cdot e_E \cdot C_1] - \\ &- (k_2)_*[(C_2 \cdot \cdot e_E)C_1 + (C_1 \cdot \cdot e_E)C_2 - 2C_1 \cdot e_E \cdot C_2 - 2C_2 \cdot e_E \cdot C_1] + \\ &+ (\Lambda_* + G_*)(C_2 \cdot \cdot e_E)C_2, \end{aligned} \quad (1.31)$$

где $C_1 = F_* \cdot C_{E_*}^{-1} \cdot F_*^T$; $C_2 = F_* \cdot C_{E_*}^{-2} \cdot F_*^T$.

В соотношении (1.30) приращение напряжения T' зависит от величины σ'_i , которая в соответствии с (1.18) в свою очередь зависит от T' . Эту связь можно учесть, подставляя в (1.18) выражение для T' из (1.30), в которое входит величина σ'_i , зависящая от свертки $S_* \cdot \cdot T'$. В результате получаем уравнение для определения этой свертки. Тогда предпоследнее слагаемое в выражении для T' в (1.30) принимает вид

$$\begin{aligned} \sigma'_i A_*(T) &= \frac{3A_*(T)}{2(\sigma_i)_* - 3S_* \cdot \cdot A_*(T)} S_* \cdot \cdot [-3S_* I_1(e) + h \cdot T_* + T_* \cdot h^T + \\ &+ \theta B_*(T) + L_*^{\text{IV}} \cdot \cdot (e - e_{Ph} - e_\Theta)], \end{aligned} \quad (1.32)$$

где $A_*(T) = Y_*(T, 0, \Lambda, \sigma_i) + Y_*(T, 0, G, \sigma_i)$; $B_*(T) = Y_*(T, a(q_*), \Lambda, \Theta) + Y_*(T, a(q_*), G, \Theta)$.

Получим рекуррентные выражения типа (1.30) для производных $T_{,\Lambda}$ и $T_{,G}$, содержащихся в тензорной функции Y_* в (1.30). Заметим, что $\tilde{g}_{,\Lambda} = \tilde{g}$ при $\Lambda = 1$, $G = 0$ и $\tilde{g}_{,G} = \tilde{g}$ при $\Lambda = 0$, $G = 1$. Следовательно, в (1.30) $Y_*(\Phi, a(q_*), x, y) = 0$. Тогда

$$T_{,\Lambda} = [1 - \varepsilon I_1(e)](T_{,\Lambda})_* + \varepsilon h \cdot (T_{,\Lambda})_* + \varepsilon (T_{,\Lambda})_* \cdot h^T + \varepsilon (L_{,\Lambda}^{IV})_* \cdot \cdot (e - e_{Ph} - e_{\Theta}),$$

$$(L_{,\Lambda}^{IV})_* = L_*^{IV} \Big|_{\Lambda=1, G=0};$$

$$T_{,G} = [1 - \varepsilon I_1(e)](T_{,G})_* + \varepsilon h \cdot (T_{,G})_* + \varepsilon (T_{,G})_* \cdot h^T + \varepsilon (L_{,G}^{IV})_* \cdot \cdot (e - e_{Ph} - e_{\Theta}),$$

$$(L_{,G}^{IV})_* = L_*^{IV} \Big|_{\Lambda=0, G=1}.$$

2. Вариационная постановка и решения краевых задач. Применяя стандартную процедуру Галеркина к уравнениям равновесия и граничным условиям в напряжениях, а также учитывая связи, наложенные на перемещения на поверхности S_u , получаем известную слабую (вариационную) постановку задачи в лагранжевой формулировке для текущей конфигурации в любой момент времени t

$$\int_S \mathbf{Q} \cdot \delta \mathbf{U} dS + \int_V \rho \mathbf{K} \cdot \delta \mathbf{U} dV - \int_V T \cdot \cdot \tilde{\nabla} \delta \mathbf{R} dV = 0. \quad (2.1)$$

Здесь \mathbf{Q} — вектор поверхностных сил, заданных в текущей конфигурации на части поверхности S , ограничивающей объем V ; \mathbf{K} — вектор массовых сил; $\mathbf{U} = \mathbf{R} - \mathbf{r}$ — вектор перемещений из начальной конфигурации в текущую; \mathbf{R} , \mathbf{r} — радиус-векторы положения точек тела в текущей и начальной конфигурациях соответственно; δ — символ вариации.

Поверхность S и объем V в текущей конфигурации в общем случае неизвестны. Поэтому уравнение (2.1) следует переформулировать по отношению к какой-либо известной конфигурации. В частности, по отношению к начальной конфигурации (2.1) имеет вид

$$\int_{S_0} \mathbf{Q}_0 \cdot \delta \mathbf{U} dS_0 + \int_{V_0} \rho_0 \mathbf{K} \cdot \delta \mathbf{U} dV_0 - \frac{1}{2} \int_{V_0} P_{II} \cdot \cdot \delta C dV_0 = 0. \quad (2.2)$$

Здесь $C = F^T \cdot F$ — мера Коши — Грина полных деформаций; $\mathbf{Q}_0 = J \sqrt{\mathbf{n} \cdot C^{-1} \cdot \mathbf{n}} \mathbf{Q}$ — вектор сил, отнесенных к единичной площади поверхности S_0 , ограничивающей объем V_0 в начальной конфигурации; \mathbf{n} — внешняя единичная нормаль к поверхности в начальной конфигурации.

При отсутствии массовых и поверхностных сил вариационное уравнение (2.2) сводится к равенству

$$\int_{V_0} P_{II} \cdot \cdot \delta C dV_0 = 0. \quad (2.3)$$

Учитывая, что $P_{II} = J F^{-1} \cdot T \cdot F^{-T}$, из соотношений (1.30), (1.32) получаем

$$P_{II} = P_{II*} + \varepsilon \left\{ \theta B_*(P_{II}) + \frac{3A_*(P_{II})}{2(\sigma_i)_* - 3S_* \cdot \cdot A_*(T)} [-2(\sigma_i)_*^2 I_1(e) + 2S_* \cdot \cdot (T_* \cdot h^T) + \theta S_* \cdot \cdot B_*(T) + S_* \cdot \cdot L_*^{IV} \cdot \cdot (e - e_{Ph} - e_{\Theta})] + J_* F_*^{-1} \cdot (L_*^{IV} \cdot \cdot (e - e_{Ph} - e_{\Theta})) \cdot F_*^{-T} \right\}.$$

В этом соотношении одним из аргументов тензорных функций A_* и B_* являются производные $P_{II,\Lambda}$ и $P_{II,G}$, которые нетрудно получить из выражений (1.33), (1.34):

$$P_{II,\Lambda} = (P_{II,\Lambda})_* + \varepsilon J_* F_*^{-1} \cdot [(L_{,\Lambda}^{IV})_* \cdot \cdot (e - e_{Ph} - e_{\Theta})] \cdot (F_*^-)^T, \quad (L_{,\Lambda}^{IV})_* = L_*^{IV} \Big|_{\Lambda=1, G=0},$$

$$P_{II,G} = (P_{II,G})_* + \varepsilon J_* F_*^{-1} \cdot [(L_{,G}^{IV})_* \cdot \cdot (e - e_{Ph} - e_{\Theta})] \cdot (F_*^-)^T, \quad (L_{,G}^{IV})_* = L_*^{IV} \Big|_{\Lambda=0, G=1}.$$

С использованием соотношений (1.5)–(1.8) мера полных деформаций Коши — Грина относительно промежуточной конфигурации с точностью до квадратичных по ε слагаемых представляется в виде

$$C = C_* + 2\varepsilon F_*^T \cdot e \cdot F_* + \varepsilon^2 F_*^T \cdot h^T \cdot h \cdot F_*.$$

Тогда

$$\delta C = 2\varepsilon F_*^T \cdot \delta e \cdot F_* + \varepsilon^2 F_*^T \cdot \delta h^T \cdot h \cdot F_* + \varepsilon^2 F_*^T \cdot h^T \cdot \delta h \cdot F_*.$$

В результате при переходе из промежуточной конфигурации в близкую текущую вариационное уравнение (2.3), записанное относительно приращения вектора полного перемещения, связывающего промежуточную и текущую конфигурации, принимает вид

$$\begin{aligned} & \int_{V_0} J_* T_* \cdot \delta e \, dV_0 + \int_{V_0} J_* (T_* \cdot h^T) \cdot \delta h \, dV_0 + \theta \int_{V_0} J_* B_*(T) \cdot \delta e \, dV_0 + \\ & + \int_{V_0} J_* \frac{3A_*(T)}{2(\sigma_i)_* - 3S_* \cdot A_*(T)} [-2(\sigma_i)_*^2 I_1(e) + 2S_* \cdot (T_* \cdot h^T) + \theta S_* \cdot B_*(T) + \\ & + S_* \cdot L_*^{IV} \cdot (e - e_{Ph} - e_\Theta)] \, dV_0 + \int_{V_0} J_* (L_*^{IV} \cdot (e - e_{Ph} - e_\Theta)) \cdot \delta e \, dV_0 = 0. \quad (2.4) \end{aligned}$$

Здесь $\delta e = (\nabla^* \delta \mathbf{u} + (\nabla^* \delta \mathbf{u})^T)/2$; $\delta h = (\nabla^* \delta \mathbf{u})^T$.

Приведем решения трех задач, которые являются тестовыми при верификации предложенных формулировок и описании эффектов, возникающих при использовании СПФ.

ЗАДАЧА 1. Две пластины одинаковой длины $l = 0,1$ м (одна пластина толщиной $h_1 = 0,5 \cdot 10^{-3}$ м изготовлена из бериллиевой бронзы БрБ2, другая толщиной $h_2 = 10^{-3}$ м — из СПФ (равноатомного никелида титана)) скреплены по длине без натяга. Двухслойная пластина находится в условиях плоской относительно ширины деформации при температуре Θ_A , соответствующей полностью аустенитному состоянию СПФ. Один торец образца закреплен (на нем задаются нулевые перемещения), остальные поверхности свободны от нагрузок. Сначала образец охлаждается до температуры Θ_M , соответствующей полностью мартенситному состоянию СПФ, а затем вновь нагревается до температуры Θ_A . Таким образом, в СПФ происходит сначала прямое мартенситное превращение, а затем обратное.

ЗАДАЧА 2. До скрепления двух пластин (см. задачу 1) пластина из СПФ толщиной $h_2 = 10^{-3}$ м при температуре Θ_A , соответствующей полностью аустенитному состоянию этого материала, подвергается одноосному однородному растяжению по длине напряжением 100 МПа. Это напряжение соответствует данным эксперимента, описанного в работе [22], в котором груз массой 1 кг растягивает пластину с поперечным сечением 3 мм \times 40 мкм. Затем пластина охлаждается до температуры Θ_M , соответствующей полностью мартенситному состоянию СПФ, после чего нагрузка снимается. Пластины, имеющие одинаковую длину $l = 0,05$ м, скрепляются по длине без натяга при температуре Θ_M . Полагается, что при этой температуре пластина из бронзы имеет толщину $h_1 = 0,5 \cdot 10^{-3}$ м. Полученная двухслойная пластина, находящаяся в условиях плоской относительно ширины деформации, закрепляется по одному из торцов (на нем задаются нулевые перемещения), при этом остальные поверхности свободны от нагрузок. Пластина нагревается до температуры Θ_A , соответствующей полностью аустенитному состоянию СПФ, а затем охлаждается до температуры Θ_M .

Механические и теплофизические характеристики материалов

Материал	$\rho \cdot 10^{-3}$, кг/м ³	E , ГПа	ν	G , ГПа	$\beta_{\Theta} \cdot 10^6$, К ⁻¹	$c_T \cdot 10^3$, МДж/ (кг · К)	$\lambda \cdot 10^5$, МВт/ (м · К)	$\alpha_S \cdot 10^6$, МВт/ (м · К)	M_s , К (A_s , К)	M_f , К (A_f , К)	Источник
Бериллиевая бронза (БрБ2)	8,2	135	0,35	50	16,6	0,38	17,0	18,0	—	—	[23–25]
Сплав с па- мятью формы:											
Мартенсит	6,5	28	0,3	28	6,6	0,5	1,0	18,0	313	293	[12, 15–18]
Аустенит	6,5	84	0,3	84	11,0	0,5	1,0	18,0	323	343	[12, 15–18]

Примечание. Значения теплоемкости, теплопроводности и коэффициента теплопередачи осреднены по двум фазам (мартенсит и аустенит).

Задача 3. Пластина из СПФ длиной $l = 0,05$ м и толщиной $h = 1,5 \cdot 10^{-3}$ м закрепляется по одному из торцов и при температуре Θ_A , находясь в условиях плоской относительно ширины деформации, изгибается касательным напряжением 20 МПа, приложенным к другому торцу, и охлаждается до температуры Θ_M , после чего нагрузка снимается. Полученная изогнутая пластина вновь нагревается до температуры Θ_A .

Механические и теплофизические характеристики материалов, для которых решаются указанные три задачи, приведены в таблице (ρ — плотность, E — модуль Юнга, ν — коэффициент Пуассона, G — модуль сдвига, β_{Θ} — коэффициент линейного температурного расширения, M_s , M_f , A_s , A_f — температуры фазовых переходов). В таблице приведены также значения теплоемкости c_T , теплопроводности λ и коэффициента теплопередачи α_S , которые в настоящей работе не используются.

Размеры h_1 и h_2 в задачах 1 и 2 выбираются из указанного в работах [23, 24] условия максимального прогиба двухслойной пластины. В [23, 24] угол изгиба при нагревании (охлаждении) пластины длиной l , состоящей из двух слоев толщиной h_1 , h_2 с модулями Юнга E_1 , E_2 и температурными коэффициентами линейного расширения β_1 , β_2 , определяется соотношением $\varphi = k_0 l \Delta\theta$, где $\Delta\theta$ — приращение температуры; коэффициент k_0 зависит от h_1 , h_2 , E_1 , E_2 , β_1 , β_2 и принимает наибольшее значение $\max k_0 = (3/2)(\beta_1 - \beta_2)/(h_1 + h_2)$ при условии $E_1 h_1^2 - E_2 h_2^2 = 0$, из которого следует, что $h_1/h_2 = \sqrt{E_2/E_1}$. Задавая для E_1 значение модуля Юнга для бронзы, а для E_2 значение модуля Юнга для мартенситной фазы СПФ, получаем $h_1/h_2 = 0,455 \approx 0,5$, откуда следует, что $h_1 = 0,5h_2$. Длина l выбиралась из условия получения достаточно большого угла φ и соответствующего ему достаточно большого перемещения w свободного конца двухслойной пластины. При наибольшем k_0 угол и перемещение определяются соотношениями $\varphi = 3 \Delta\epsilon l / (2(h_1 + h_2))$, $w = \varphi l / 2$, где $\Delta\epsilon = (\beta_1 - \beta_2) \Delta\theta$. Согласно данным работы [23] наибольшее значение $\beta_1 - \beta_2$ для биметаллов, используемых в реальных приборах и конструкциях, составляет $20 \cdot 10^{-6}$ К⁻¹; при $\Delta\theta = 100$ К значение $\Delta\epsilon$ становится равным 0,002, т. е. 0,2 %. Для биметалла, рассматриваемого в настоящей работе, наибольшее значение $\beta_1 - \beta_2$ равно 10^{-5} К⁻¹, а интервал температур фазового перехода $\Delta\theta$ ($\Delta\theta = M_s - M_f$ или $\Delta\theta = A_f - A_s$) составляет примерно 30 К (см. таблицу). Следовательно, температурная деформация $\Delta\epsilon \approx 0,03$ %. При этом, как показано ниже, фазовые деформации могут быть на два порядка больше.

Вернемся к соотношениям (1.19), (1.20), которые при малых деформациях имеют вид

$$de_{Ph} = (\beta g + c_0 S + a_0 e_{Ph}) dq, \quad dq > 0; \quad (2.5)$$

$$de_{Ph} = \left(\frac{a_0 e_{Ph}^{(0)}}{\exp(a_0 q_0) - 1} + a_0 e_{Ph} \right) dq, \quad dq < 0. \quad (2.6)$$

Поскольку далее рассматриваются только фазовые деформации, для упрощения индекс Ph опускается. Рассмотрим прямолинейный стержень из СПФ, находящийся в одноосном напряженном состоянии (ОНС) при постоянных напряжениях. Орт \mathbf{k} направлен по оси стержня. Тогда напряжение равно $T = \tilde{T}\mathbf{k}\mathbf{k}$, а его девиаторная часть — $S = -(1/3)\tilde{T}(\mathbf{i}\mathbf{i} + \mathbf{j}\mathbf{j}) + (2/3)\tilde{T}\mathbf{k}\mathbf{k}$, причем \tilde{T} и S постоянны в процессе фазового перехода. В этом случае уравнения (2.5), (2.6) имеют простое решение. Из уравнения (2.5) для компоненты, соответствующей диаде $\mathbf{k}\mathbf{k}$, следует равенство

$$\frac{de_k}{\beta + 2c_0\tilde{T}/3 + a_0e_k} = dq \Rightarrow e_k = \frac{\beta + 2c_0\tilde{T}/3}{a_0} [\exp(a_0) - 1], \quad (2.7)$$

для компонент, соответствующих диадам $\mathbf{i}\mathbf{i}$ и $\mathbf{j}\mathbf{j}$, — равенства

$$\frac{de_i}{\beta - c_0\tilde{T}/3 + a_0e_i} = dq \Rightarrow e_i = \frac{\beta - c_0\tilde{T}/3}{a_0} [\exp(a_0) - 1]. \quad (2.8)$$

Здесь интегрирование по фазовым деформациям осуществляется от 0 до e_k или e_i , а по параметру q — от 0 до 1. При отсутствии напряжений соотношения (2.7) и (2.8) совпадают. Из уравнения (2.6) следует равенство

$$e_n = \frac{e_n^{(0)}}{\exp(a_0q_0)} [\exp(-a_0) - 1] + e_n^{(0)} \exp(-a_0), \quad n = i, j, k, \quad (2.9)$$

где интегрирование по фазовым деформациям осуществляется от $e_n^{(0)}$ до e_n , а по параметру q — от q_0 до 0; $q_0, e_n^{(0)}$ — значения q и e_n в начальной точке процесса обратного мартенситного превращения. Задавая для $e_n^{(0)}$ деформации e_k (2.7) или e_i (2.8) и полагая $q_0 = 1$, из (2.9) получаем $e_n = 0$, т. е. в процессе прямого превращения возникают деформации, причем при отсутствии напряжения они одинаковы, а в процессе обратного превращения они исчезают.

Используя соотношение (2.7) и константы для СПФ (см. (1.15), (1.19), (1.20)), вычислим осевую деформацию e_k , возникающую в процессе полного прямого превращения. При отсутствии напряжения имеем $e_k = 0,0017$, что сопоставимо с температурными деформациями при изменении температуры на 100 К. При растягивающем напряжении $T = 100$ МПа имеем $e_k = 0,029$, что приблизительно в 100 раз больше сопровождающих этот процесс температурных деформаций.

Полученные выше оценки справедливы при малых перемещениях и деформациях, но позволяют обосновать выбор толщины каждого слоя пластины и ее длину.

Для решения всех трех задач используются лагранжевы (материальные) координаты. Представим алгоритм решения этих задач. Процесс охлаждения (нагрева) разбивается на ряд достаточно малых шагов. Величины с индексом “*” известны из решения задачи на предыдущем шаге. Задается изменение температуры θ . Численное решение уравнения (2.4) осуществляется методом конечных элементов. В результате определяем приращение вектора перемещений \mathbf{u} на данном шаге. Зная \mathbf{u} , строим поля $h = (\nabla^* \mathbf{u})^T$, e и d . Используя (1.21), (1.22), определяем e_{Ph} , по известному значению θ получаем $e_\Theta = \beta_\Theta \theta g$ и из (1.23) находим d_{Ph} и d_Θ . С помощью этих величин можно построить тензоры $e_E = e - e_{Ph} - e_\Theta$ и $d_E = d - d_{Ph} - d_\Theta$, которые в свою очередь позволяют найти тензоры F_E, F_{Ph}, F_Θ (1.6)–(1.8), \tilde{E}_{Ph} (1.12) и все зависящие от них кинематические величины. По соотношениям (1.30)–(1.32) вычисляется T , по (1.16)–(1.18) — σ_i, ξ, q, Θ , по (1.27)–(1.29) — E, G, Λ и по (1.33), (1.34) — T_Λ, T_G . Все эти величины соответствуют концу предыдущего шага, являясь в то же время начальными для следующего. Присваивая указанным величинам

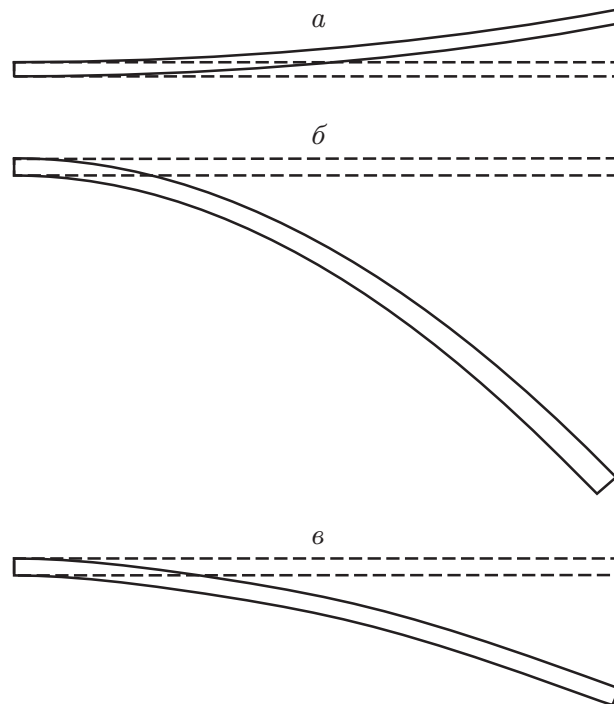


Рис. 2. Изгиб пластины:

a — задача 1, *б* — задача 2, *в* — задача 3; штриховая линия — начальное состояние, сплошная — конечное состояние

индекс “*”, решаем вариационное уравнение (2.4) для следующего шага. В начальный момент времени в ненагруженной и недеформированной конфигурации во всем материале $T_* = (T, \Lambda)_* = (T, G)_* = 0$, $F_* = F_{E_*} = F_{Ph_*} = F_{\Theta_*} = g$, $q = 0$, $\Lambda = \Lambda_A$, $G = G_A$.

При численном решении всех трех задач использовались сетка треугольных конечных элементов и квадратичная аппроксимация поля приращения перемещений. На каждом шаге полагалось, что изменение температуры $\theta = 0,5$ К, и учитывалось температурное расширение материалов.

Задача 1 решалась на сетке размером 12×800 : для бронзы — 4×800 , для СПФ — 8×800 . На рис. 2, *a* показана форма двухслойной пластины (нижний слой из СПФ) в начальном положении при температуре Θ_A (штриховая линия), в котором СПФ находится полностью в аустенитном состоянии, и при охлаждении до температуры Θ_M (сплошная линия), когда СПФ находится полностью в мартенситном состоянии. При охлаждении в бронзе и СПФ возникают деформации температурного сжатия, причем в бронзе они выше, чем в СПФ, так как коэффициент температурного расширения больше (см. таблицу). Поэтому СПФ находится в основном в растянутом состоянии и возникающие в нем наряду с температурными фазовые деформации при аустенитно-мартенситном переходе являются также в основном деформациями растяжения. Все это приводит к изгибу вверх двухслойной пластины. Рассчитанное значение перемещения свободного конца пластины (практически любой его точки) составляет $5,64 \cdot 10^{-3}$ м (5,64 % длины). На рис. 2, *a* перемещение и длина пластины представлены в одном масштабе. При последующем нагреве до температуры Θ_A пластина принимает ту же форму, что и в начальном состоянии (штриховая линия).

Задача 2 решалась на сетке размером 12×400 : для бронзы — 4×400 , для СПФ — 8×400 (так как длина пластины в два раза меньше, чем в задаче 1). На рис. 2, *б* показана

форма двухслойной пластины (нижний слой из СПФ) в начальном положении (штриховая линия), когда пластина из СПФ, имеющая температуру Θ_A , соответствующую полностью аустенитному состоянию, подвергается одноосному однородному растяжению по длине напряжением 100 МПа. Затем пластина охлаждается до температуры Θ_M , соответствующей полностью мартенситному состоянию, и после снятия нагрузки скрепляется без натяга с пластиной из бронзы. При этом в пластине из СПФ накапливаются и “замораживаются” фазовые деформации растяжения, которые при последующем нагревании до температуры Θ_A исчезают. В результате двухслойная пластина стягивается и изгибается вниз (сплошная линия на рис. 2,б, перемещение и длина пластины представлены в одном масштабе). При этом свободный конец пластины (его средняя точка) смещается на расстояние, равное $2,8 \cdot 10^{-2}$ м (55,88 % длины). Последующее охлаждение двухслойной пластины до температуры Θ_M приводит к практически полному возвращению ее в начальное положение (штриховая линия).

Задача 3 решалась на сетке размером 12×400 . На рис. 3,в штриховой линией показано начальное состояние пластины из СПФ при температуре Θ_A , а сплошной — ее состояние после изгиба при температуре Θ_A касательным напряжением 20 МПа, приложенным к свободному торцу, с последующим охлаждением до температуры Θ_M и снятием нагрузки (перемещение и длина пластины представлены в одном масштабе). В этом случае в пластине накапливаются и “замораживаются” фазовые деформации растяжения-сжатия, которые при последующем нагревании до температуры Θ_A исчезают. В результате пластина выпрямляется и возвращается в начальное состояние (штриховая линия на рис. 2,в). При этом свободный конец пластины (его средняя точка) смещается на расстояние, равное $1,15 \cdot 10^{-2}$ м (23,06 % длины).

Закключение. В работе построена модель поведения сплава с памятью формы при конечных деформациях. Использован достаточно полно изложенный в [6] подход, позволяющий строить согласованные с принципами термодинамики и объективности уравнения (в том числе эволюционные с соответствующей объективной производной), определяющие поведение сред в термоупруго-неупругих процессах. Представленная модель протестирована на ряде задач.

ЛИТЕРАТУРА

1. Новокшанов Р. С., Роговой А. А. О построении эволюционных определяющих соотношений для конечных деформаций // Изв. РАН. Механика твердого тела. 2002. № 4. С. 77–95.
2. Новокшанов Р. С., Роговой А. А. Эволюционные определяющие соотношения для конечных вязкоупругих деформаций // Изв. РАН. Механика твердого тела. 2005. № 4. С. 122–140.
3. Роговой А. А. Определяющие соотношения для конечных упруго-неупругих деформаций // ПМТФ. 2005. Т. 46, № 5. С. 138–149.
4. Роговой А. А. Термодинамика упруго-неупругого процесса при конечных деформациях // ПМТФ. 2007. Т. 48, № 4. С. 144–153.
5. Роговой А. А. Кинематика упруго-неупругого процесса при конечных деформациях // ПМТФ. 2008. Т. 49, № 1. С. 165–172.
6. Rogovoy A. A. Formalized approach to construction of the state equations for complex media under finite deformations // Contin. Mech. Thermodyn. 2012. V. 24. P. 81–114.
7. Трусделл К. Первоначальный курс рациональной механики сплошных сред. М.: Мир, 1975.
8. Мовчан А. А., Сильченко Л. Г., Казарина С. А., Тант Зин Аунг. Определяющие соотношения для сплавов с памятью формы — микромеханика, феноменология, термодинамика // Учен. зап. Казан. ун-та. Сер. Физ.-мат. науки. 2010. Т. 152, кн. 4. С. 180–194.

9. **Boyd J. G., Lagoudas D. C.** A thermodynamical constitutive model for shape memory materials. Pt 1. The monolithic shape memory alloy // Intern. J. Plasticity. 1996. V. 12, N 6. P. 805–842.
10. **Qidwai M. A., Lagoudas D. C.** Numerical implementation of a shape memory alloy thermomechanical constitutive model using return mapping algorithms // Intern. J. Numer. Methods Engng. 2000. V. 47. P. 1123–1168.
11. **Lim T. J., McDowell D. L.** Cyclic thermomechanical behavior of a polycrystalline pseudoelastic shape memory alloy // J. Mech. Phys. Solids. 2002. V. 50. P. 651–676.
12. **Auricchio F., Petrini L.** A three-dimensional model describing stress-temperature induced solid phase transformations: thermomechanical coupling and hybrid composites applications // Intern. J. Numer. Methods Engng. 2004. V. 61. P. 716–737.
13. **Auricchio F., Petrini L.** A three-dimensional model describing stress-temperature induced solid phase transformations: solution algorithm and boundary value problems // Intern. J. Numer. Methods Engng. 2004. V. 61. P. 807–836.
14. **Мовчан А. А.** Выбор аппроксимации диаграммы перехода и модели исчезновения кристаллов мартенсита для сплавов с памятью формы // ПМТФ. 1995. Т. 36, № 2. С. 173–181.
15. **Мовчан А. А., Шелымагин П. В., Казарина С. А.** Определяющие уравнения для двухэтапных термоупругих фазовых превращений // ПМТФ. 2001. Т. 42, № 5. С. 152–160.
16. **Мовчан А. А., Сильченко Л. Г.** Аналитическое решение связанной задачи об устойчивости пластины из сплава с памятью формы при обратном мартенситном превращении // Изв. РАН. Механика твердого тела. 2004. № 5. С. 164–178.
17. **Мовчан А. А., Чжо Ту Я.** Решение начально-краевых задач о прямом и обратном превращении в рамках нелинейной теории деформирования сплавов с памятью формы // Механика композиц. материалов и конструкций. 2007. Т. 13, № 4. С. 452–468.
18. **Мовчан А. А., Чжо Ту Я.** Решение связанной термоэлектромеханической задачи для стержня из сплава с памятью формы в рамках теории нелинейного деформирования этих материалов // Механика композиц. материалов и конструкций. 2008. Т. 14, № 3. С. 443–460.
19. **Лурье А. И.** Теория упругости. М.: Наука, 1970.
20. **Лурье А. И.** Нелинейная теория упругости. М.: Наука, 1980.
21. **Мовчан А. А.** Учет переменности упругих модулей и влияния напряжений на фазовый состав в сплавах с памятью формы // Изв. РАН. Механика твердого тела. 1998. № 1. С. 79–90.
22. **Иржак А. И., Истомин В. В., Коледов В. В. и др.** Упорядочение, мартенситное превращение и эффект памяти формы в субмикронных образцах быстрозакаленного сплава Ni₅₀Ti₂₅Cu₂₅ // Изв. РАН. Сер. физ. 2009. Т. 73, № 8. С. 1141–1143.
23. **Асс Б. А.** Детали и узлы авиационных приборов и их расчет / Б. А. Асс, Н. М. Жукова. М.: Оборонгиз, 1960.
24. **Андреева Л. Е.** Упругие элементы приборов. М.: Машгиз, 1962.
25. **Физические величины: Справ.** / А. П. Баби́чев, Н. А. Бабушкина, А. М. Братковский и др.; Под ред. И. С. Григорьева, Е. З. Мейлихова. М.: Энергоатомиздат, 1991.

Поступила в редакцию 28/VI 2012 г.